

1 まえおき

本研究は、高応力下におけるコンクリートのフリー7°特性を把握するための検討を行うものである。すなわち普通および軽量コンクリートと標準荷重下においてフリー7°破壊まで、その表裏特性およびフリー7°限の存在の有無等について検討して見らる。

2 実験概要

実験に使用したコンクリートは、普通コンクリート ($\sigma_{uc} = 453 \text{ kg/cm}^2$) と軽量コンクリート ($\sigma_{uc} = 405 \text{ kg/cm}^2$) である。実験時のコンクリートの齢令は100日以上である。フリー7°試験は、万能試験機(島津社製)を用い、先んずきの供試体から求めた平均強度より所定の載荷重を定め、定荷重装置により持続載荷し、ひずみの測定は、供試体 ($\phi 10 \times 20 \text{ cm}$) の縦方向に2枚、横方向に2枚、合計4枚の電気抵抗線ひずみ計とビッカース硬度計、それらひずみ計(新興通信社製)を併用し、X-Yレコーダー(横河社製)を自記させた。載荷重の大きさは、静的強度の70~90%の範囲にある。なお、X-Yレコーダーによって記録されたひずみ-時間曲線を翻写し、そのひずみが一定値に達し、時間的に変化が小さくなるまでには、それ以後荷重を持続しても破壊しないものもあ

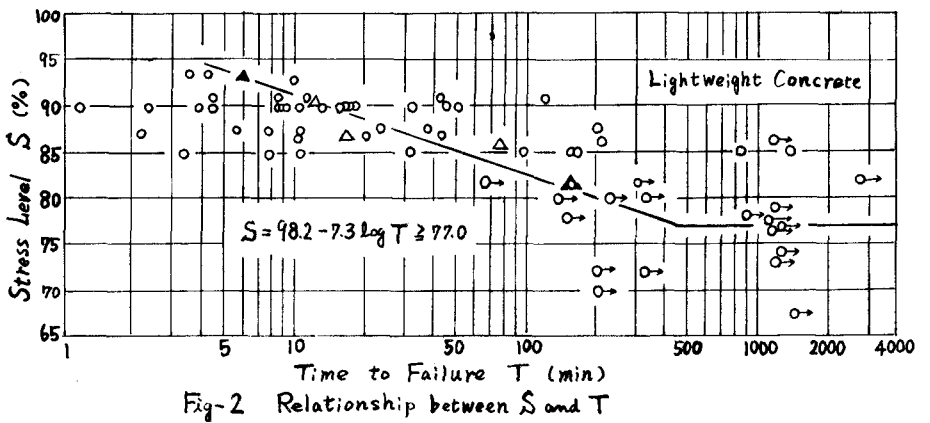
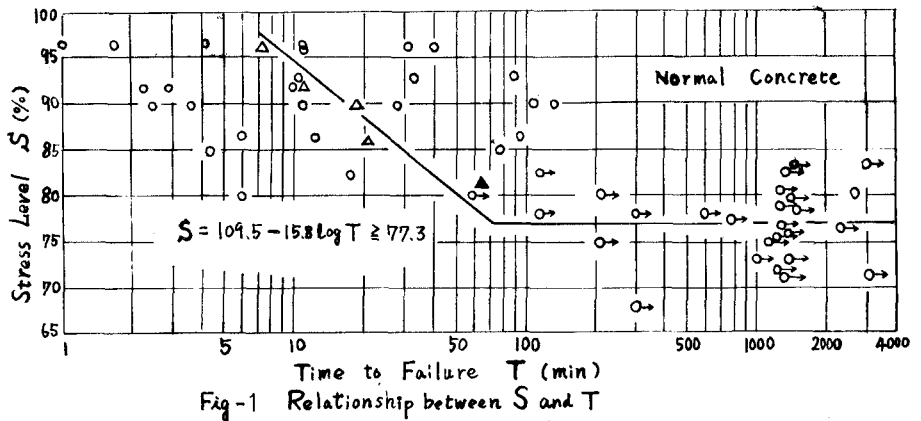
らることを考慮し、その時は更に実験を打ち切った。

3 実験結果

Fig. 1 および Fig. 2 のフリー7°破壊実験の結果を示す。

Fig. 1, 2 より明らかなように、フリー7°破壊瞬間

は、応力比(S)が同一であるものの、そのばらつきがある。これは、供試体毎の静的強度のばらつきや、試験装置の性能の差動ほのりによる。コンクリートのフリー7°破壊性状の本質的



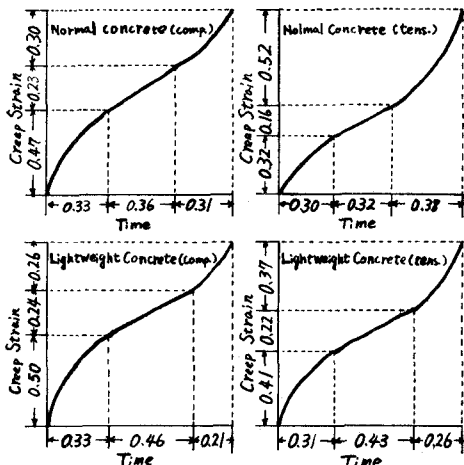


Fig. 4 Creep Strain-Time Curve

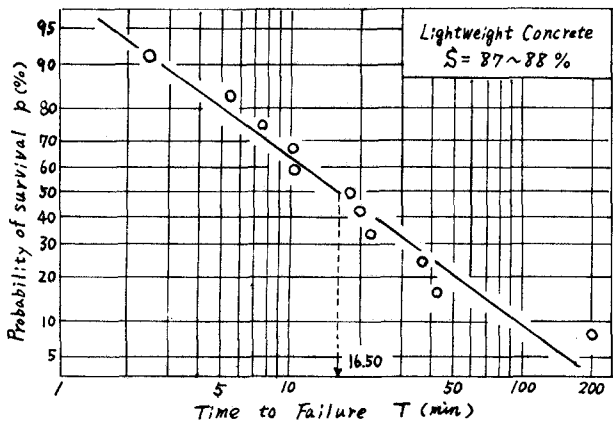


Fig. 3 p-T Line

この基本的性質を考慮して考えられる。先
 に、破壊し供試体について、応力比と
 時間とを合せ、それぞれの応力比における
 平均の破壊時間を、Fig. 3にその一例を示
 すように対数正規分布関数を用いて推定し、
 Fig. 1, 2に示すように、このように
 求めて求めた各応力比における平均値を、
 ▲印は算術平均値である。

本実験において、フリー7°破壊曲線は、
 通常フリー7°、定常フリー7°および加速フ
 リー7°の3つの部分とに分けられる。Fig. 4
 は、本実験の結果の平均値を模式的に示し
 ているのである。Fig. 5, 6は定常フリー7°
 の場合の速度と破壊時間との関係を示し
 ているのである。普通および軽量コンクリ
 ートの場合、定常フリー7°速度が0に
 近くなれば、その破壊時間は無限大と
 なり供試体は破壊しない。Fig. 1, 2に
 おいて、○印を示すものは、定常フリー
 7°速度が0に近くなるものであるため、その
 破壊時間は無限大と考えられる。従って、Fig. 1, 2に示すようにフリー7°速度が存在するものと考えら
 れる。今、破壊しなかった供試体の平均値を求めると、普通および軽量コンクリートのフリー7°速度は約77%
 となる。

以上、本実験における結果の一例を示し、若干の考察を加え、今後は、コンクリートのフリー7°破壊と、
 疲労破壊との関連性について検討を加えたいと考えている。

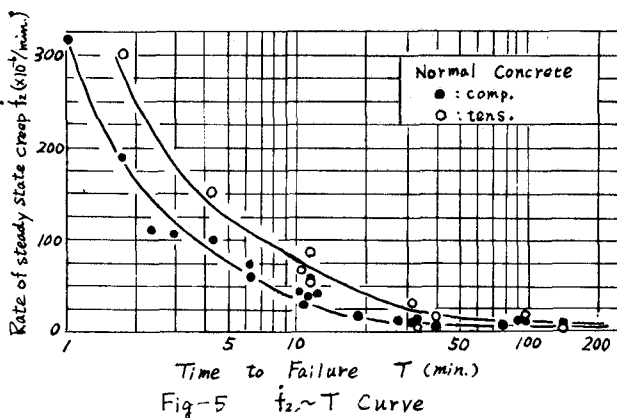


Fig. 5 $f_2 \sim T$ Curve

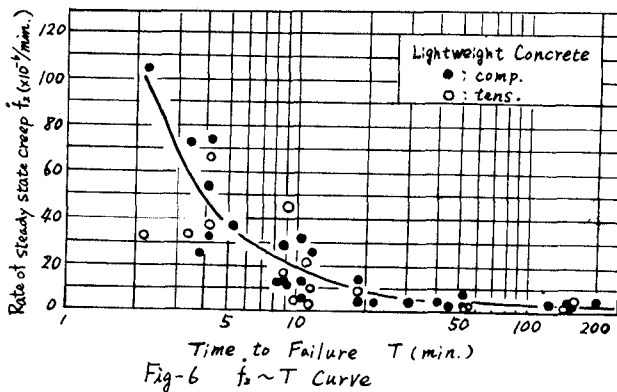


Fig. 6 $f_2 \sim T$ Curve